

Обобщенная модель критического состояния в низкоразмерных сверхпроводниках с краевым барьером

© А.А. Елистратов, И.Л. Максимов

Нижегородский государственный университет,
603000 Нижний Новгород, Россия

(Поступила в окончательном виде 18 августа 1999 г.)

Предложена обобщенная модель критического состояния в низкоразмерных сверхпроводниках, учитывающая эффекты объемного и краевого пиннинга магнитного потока. Описаны условия проникновения пирл-абрикосовских вихрей в сверхпроводник, а также метастабильные структуры потока в этих системах. Построена диаграмма различных вихревых состояний на полном цикле изменения внешнего магнитного поля.

Работа частично поддержана Миннауки РФ (проект № 98-012), РФФИ (грант № 97-02-17437), а также Фондом поддержки перспективных исследований (INCAS; грант N 97-2-10).

Исследование структуры и особенностей критического состояния (КС) в сверхпроводниках II рода является важной задачей физики сверхпроводимости. К настоящему времени теорию критического состояния в массивных сверхпроводниках, включающую как объемный, так и поверхностный пиннинг абрикосовских вихрей, можно считать в значительной степени разработанной (см., например, [1–3]). Однако в низкоразмерных сверхпроводниках (тонкие пленки, монокристаллы с высоким размагничивающим фактором и т.п.) вопрос о структуре, динамике и магнитных свойствах критического состояния все еще остается малоисследованным. Между тем принципиально неустранимая нелокальность межвихревого взаимодействия, а также возможность существования краевого барьера для входа и/или выхода вихрей способны обеспечить значительный перегрев мейсснеровского состояния [4] и, кроме того, привести к установлению нетривиальных структур магнитного потока [5,6]. Существенное влияние барьера на резистивные характеристики вихревого состояния в ВТСП образцах обнаружено в работе [7]. Поскольку электромагнитные и диссипативные характеристики подобных систем являются малоизученными, представляется очевидным, что для их количественного описания необходимо построение конструктивной концепции критического состояния в низкоразмерных сверхпроводниках.

В настоящей работе предложена обобщенная модель критического состояния в низкоразмерных сверхпроводниках, учитывающая эффекты объемного и краевого пиннингов магнитного потока. На основе этой модели будут описаны условия проникновения пирл-абрикосовских вихрей в сверхпроводник, а также метастабильные структуры потока в этих системах. Будет построена диаграмма различных вихревых состояний на полном цикле изменения внешнего магнитного поля, продемонстрирован переход к биновской модели критического состояния, характеризующейся доминированием объемного пиннинга, обсуждены условия наблюдения предсказанных структур магнитного потока.

1. Модель

Рассмотрим длинную пленочную сверхпроводящую полосу толщины d ($-d/2 < z < d/2$) и ширины $2W$ ($-W < Y < W$), помещенную в перпендикулярное ее поверхности магнитное поле $H = (0, 0, H)$. Предполагается, что толщина пленки мала по сравнению с лондоновской глубиной проникновения λ : $d < \lambda$, а ее ширина $W \gg \lambda_{\text{eff}} = \lambda^2/d$.

В условиях одновременного существования краевого барьера и объемного пиннинга необходимо определить условия реального вхождения вихрей в образец (термин "реальное" предполагает вхождение и последующее продвижение вихрей в глубь образца). В системах, характеризующихся высоким размагничивающим фактором, а также высоким краевым барьером, вихри проникают в образец при поле, превышающем поле подавления барьера H_S [8]. Прикраевая плотность тока i_e в этом случае достигает значения i_S , достаточного для подавления барьера на вход вихря: $i_S = H_S W^{1/2} / [2\pi(2\lambda_{\text{eff}})^{1/2}]$ [8]. Здесь и далее в тексте использована погонная плотность тока (определение см. в разделе 2.1).

В присутствии объемного пиннинга важным параметром задачи является соотношение r между током подавления барьера i_S и током депиннинга вихрей i_p , $r = i_S/i_p$. При $r > 1$ проникший в образец вихрь обязательно продвинется вглубь до точки $y = y_0$ ($y = Y/W$ — безразмерная координата), в которой сила Лоренца будет уравновешана силой пиннинга. Используя известное распределение мейсснеровского тока в полоске $i_m(y) = Hy/[2\pi(1 - y^2)^{1/2}]$, нетрудно найти $y_0 = 1/[1 + (H_S/2\pi i_p)^2]^{1/2}$. Видно, что при $H_S/2\pi i_p \geq 1$, $y_0 < 1$, что соответствует зарождению вихревой области в глубине сверхпроводника. Физически это обстоятельство отражает воздействие мейсснеровских токов, сносящих вихри с периферии в центральную часть образца. Возникающие в этих условиях метастабильные распределения магнитного потока следует интерпретировать как самоорганизованное критическое состояние, регулируемое краевым пиннингом магнитного потока [9].

В условиях, когда барьер на вход подавлен $((H_S/2\pi i_p)^2 < 2\lambda_{\text{eff}}/W \ll 1$ или, что то же, $r < 1$), ток вхождения i_S и поле вхождения H_S по-прежнему связаны однозначным соотношением, вытекающим из условия подавления барьера Гиббса на вход вихрей. Однако вошедшие в пленку вихри группируются вблизи ее края и не могут, без заметного увеличения внешнего поля, продвинуться в глубь образца на расстояние, превышающее λ_{eff} . Для их продвижения (реального проникновения) необходимо создать дополнительное внешнее поле, которое индуцирует токи такой силы, чтобы суммарная плотность тока в прикраевой области стала равной плотности тока депиннинга i_p . В результате в образце формируется критическое состояние, регулируемое объемным пиннингом вихрей (КСОП), которое в литературе принято описывать биновской моделью КС [1,10].

Используя аналогию с предыдущим случаем (высокий барьер), можно отождествить i_p с током вхождения вихрей в образец i_{en}^* . Таким образом, в случае подавленного краевого барьера ток реального вхождения (т.е. вхождения и продвижения) i_{en}^* ($i_{\text{en}}^* \approx i_p$) и поле вхождения H_S ($H_S \approx h_{c1}$; H_{c1} — первое критическое поле) являются независимыми параметрами системы. В обычно используемых моделях КСОП (см., например, [10,11]) поле вхождения считается пренебрежимо малым, что, по существу, соответствует ситуации с полностью подавленным барьером. В обобщенной модели критического состояния поле вхождения является независимым параметром, характеризующим качество поверхности образца. Соответственно ток реального вхождения i_{en} в обобщенной модели КС определяется как $i_{\text{en}} = \max\{i_S, i_p\}$.

При уменьшении поля выход потока из пленки начинается лишь при подавлении барьера на выход вихрей [4]. Это реализуется при достижении поля величины H_{ex} (см. далее раздел 2.3). При дальнейшем снижении поля величина прикраевого тока монотонно уменьшается, пока не достигнет значения $i_{\text{en}}^{(-)}$ ($i_{\text{en}}^{(-)} \approx -i_{\text{en}}$), при котором начинается вхождение антивихрей.

Сформулированные выше условия делают возможным с единых позиций описать характер распределения магнитного потока в широком классе материалов и образцов. Далее будут представлены результаты анализа характеристик критического состояния общего вида.

2. Равновесные распределения вихрей

2.1. Основные уравнения. Распределения плотности магнитного потока $n(y)$ и плотности установившегося тока $i(y)$ по ширине пленки описываются уравнением Максвелла–Лондона, имеющим для широких пленок с $\lambda_{\text{eff}} \ll W$ следующий вид:

$$\int_0^1 \frac{i^*(\tau) d\tau}{\tau - y^2} = h - b^*(y^2). \quad (1)$$

Введенные в (1) величины $h = H/2i_p$ и $b^*(y) = \Phi_0 n(y)/2i_p$ суть безразмерная напряженность внеш-

него поля и индукция магнитного поля в пленке соответственно; Φ_0 — квант магнитного потока, а $i^*(y) = i(y)/i_p$ — безразмерная плотность тока, где $i(y)$ — погонная (проинтегрированная по толщине пленки) плотность тока

$$i(y) = - \int_{-d/2}^{d/2} j_x(y, z) dz.$$

Уравнение (1), связывающее две неизвестные функции $i^*(y)$ и $n^*(y)$, требует дополнительных условий для однозначного их нахождения. Вид этих условий определяется характером изменения внешнего магнитного поля, а также предысторией распределения захваченного потока (см. далее). Универсальной особенностью дополнительных условий является требование, чтобы в области сосредоточения вихрей локальная плотность тока не превышала плотности тока депиннинга $i_p(b^*) = i_p \phi(b^*)$ [1,5,6]. Безразмерная функция $\phi(b^*)$ отражает влияние проникшего в образец потока на величину локальной плотности тока депиннинга [1].

Интегральное уравнение (1) с сингулярным ядром типа Коши можно решить при помощи метода краевой задачи Римана [12]. Следуя ему, выразим $i^*(y)$

$$i^*(y) = \frac{y}{\pi \sqrt{1-y^2}} \times \left\{ h + \frac{1}{\pi} \int_0^1 \sqrt{\frac{1-\tau}{\tau}} b^*(\tau) \frac{d\tau}{\tau - y^2} \right\}, \quad (2)$$

считая формально $b^*(y)$ известной функцией. Дальнейший анализ уравнения (1) (или эквивалентного ему (2)) проводится в каждом конкретном случае с учетом магнитной истории процесса.

2.2. Режим первоначального ввода поля в сверхпроводник. При достижении поля H_{en} вихри начнут проникать в пленку с краев и формировать две симметричные относительно центра полоски $\Theta_1 < |y| < \Theta_2$, где в соответствии с моделью критического состояния установится плотность тока $i(y) = i_p(b^*) \text{sign}(y)$. Условия для доопределения функций в уравнении (1) имеют вид

$$b^*(y) = 0, \quad i^*(y) \neq \phi(b^*) \text{sign}(y), \quad |y| \notin [\Theta_1, \Theta_2]; \quad (2a)$$

$$b^*(y) \neq 0, \quad i^*(y) = \phi(b^*) \text{sign}(y), \quad |y| \in [\Theta_1, \Theta_2]. \quad (2b)$$

Используя условие (2b), можно сократить контур интегрирования в (2) до отрезка $[\Theta_1, \Theta_2]$, на котором зависимость $i^*(y)$ определена уравнением критического состояния $i^*(y) = i_p(b^*(y))$. Разрешив (2) относительно $b^*(y)$ при помощи метода обращения интегралов типа Коши, можно в принципе найти $b^*(y)$ и $i^*(y)$ на всем интервале $|y| \in [-1, 1]$. В случае модели КС общего вида (функция $\phi(b^*)$ произвольна)

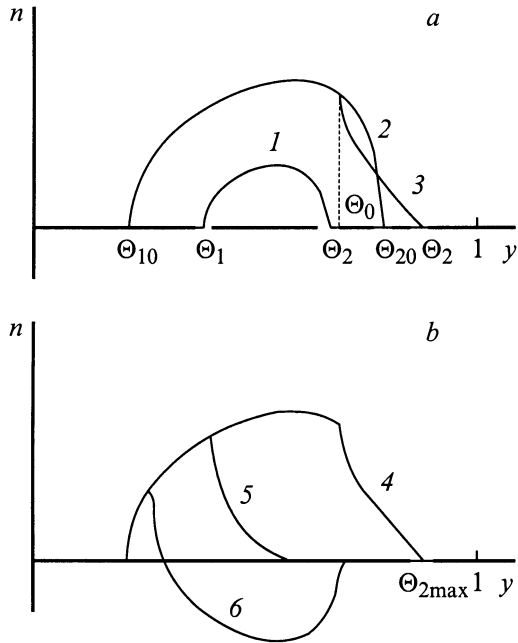


Рис. 1. Распределение плотности вихрей по ширине пленки при разных значениях внешнего поля: 1 — $H_1 < H < H_0$ — возрастание поля; вход потока; 2 — $H_{df} < H < H_0$ — уменьшение поля; поток заморожен; 3 — $H_{ex} < H < H_{df}$ — сохранение потока (a); 4 — $H^* < H < H_{ex}$ — выход потока с периферии; 5 — $H_{en}^{(-)} < H < H^*$ — сужение области локализации потока; 6 — $H_0 < H < H_{en}^{(-)}$ — вход "антивихрей" (b).

аналитические результаты получить не представляется возможным. Далее будут представлены результаты, полученные в рамках биновской аппроксимации тока

депиннинга ($\phi(b^*) = 1$). В рамках биновской аппроксимации обращение сингулярных интегралов производится стандартным образом и мы получаем

$$b^*(y) = -R(y^2, \alpha_1, \alpha_2) \int_{\alpha_1}^{\alpha_2} \frac{1}{R(\tau, \alpha_1, \alpha_2)} \frac{d\tau}{\tau - y^2},$$

$$|y| \in [\Theta_1, \Theta_2]; \quad (3a)$$

$$i^*(y) = \pm \frac{1}{\pi} R(y^2, \alpha_1, \alpha_2) \int_{\alpha_1}^{\alpha_2} \frac{1}{R(\tau, \alpha_1, \alpha_2)} \frac{d\tau}{\tau - y^2} \text{sign}(y),$$

$$|y| \notin [\Theta_1, \Theta_2]. \quad (3b)$$

Этот результат справедлив при выполнении дополнительного условия

$$h = \int_{\alpha_1}^{\alpha_2} \frac{d\tau}{R(\tau, \alpha_1, \alpha_2)}, \quad (3c)$$

где

$$R(x, \beta_1, \beta_2) = \sqrt{\frac{x|(\beta_2 - x)(x - \beta_1)|}{1 - x}}.$$

В выражениях (3) введены следующие обозначения: $\alpha_1 = \Theta_1^2$, $\alpha_2 = \Theta_2^2$, причем в (3b) знак "+" берется при $|y| \in [\Theta_2, 1]$, а знак "-" — при $|y| \in [0, \Theta_1]$. Условие (3c) позволяет исключить нефизическую сингулярность в распределении тока при $y = 0$.

Для определения границ области концентрации потока Θ_1 и Θ_2 необходимо к условию (3c) добавить условие насыщения приравной плотности тока на величине, сов-

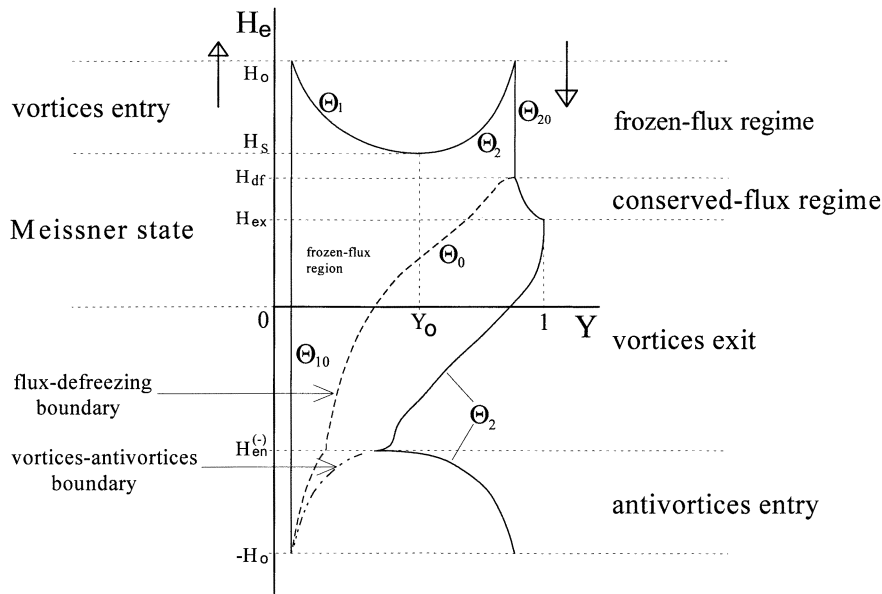


Рис. 2. Диаграмма распределений магнитного потока.

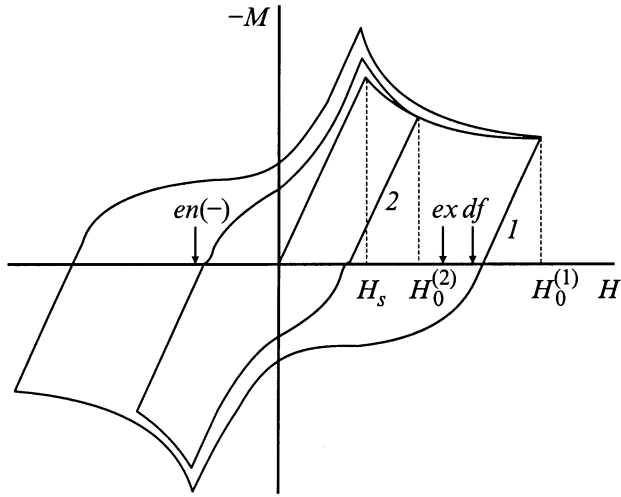


Рис. 3. Семейство кривых намагниченности пленки ($H_S/i_p = 10$): 1 — $H_0/i_p = 30$; 2 — $H_0/i_p = 16$.

падающей с плотностью тока вхождения i_{en} : $i(1-\xi) = i_{en}$ (где $\xi = \lambda_{eff}/W$), что приводит к уравнению

$$h_{en} = -\sqrt{(1-\alpha_1)(1-\alpha_2)} \int_{\alpha_1}^{\alpha_2} \frac{1}{1-\tau} \frac{d\tau}{R(\tau, \alpha_1, \alpha_2)}, \quad (4)$$

здесь $h_{en} = H_{en}/2i_p$.

Анализ уравнений (3с) и (4) в случае $r > 1$ ($H_{en} = H_S$) показывает, что совместное их решение существует только при полях, превышающих поле проникновения h_S : $h > h_S$; причем при $h \Rightarrow h_S$ Θ_1 — приближается слева, а Θ_2 — справа к точке y_0 . Нетрудно также убедиться, что при $r \ll 1$ (барьер практически подавлен; $h_S \sim \xi^{1/2} \ll 1$) выражения (3а) и (3б) переходят в соответствующие выражения в модели Бина [10], поскольку $y_0 \approx 1 - h_S^2 \approx 1$.

Итак, при вводе в пленку возникает "двугорбый" профиль магнитного потока, изображенный на рис. 1, а. По мере роста h он расширяется как к центру, так и к краям сверхпроводника. Эволюция его границ показана на рис. 2 (режим "Вход вихрей").

В сверхпроводниках с высоким краевым барьером начало входа вихрей соответствует резкому излому кривой намагниченности $M(H)$ (см. рис. 3), что объясняется лавинообразным характером проникновения магнитного потока в образец. По мере снижения барьера поведение $M(H)$ заметно сглаживается, заменяясь (в пределе $r \ll 1$) монотонным ходом функции $M(H)$ вблизи поля вхождения H_S ($\approx H_{c1}$).

2.3. Режим снижения поля. Рассмотрим процесс уменьшения внешнего магнитного поля от амплитудного значения $h_0 > h_S$ (соответствующие полю h_0 значения Θ_1 и Θ_2 обозначим как Θ_{10} и Θ_{20}).

В некотором интервале полей, примыкающем к h_0 ($h_0 > h > h_{df}$), вихри будут неподвижны ("заморожены") на местах своего первоначального закрепления в области $\Theta_{10} < |y| < \Theta_{20}$ (см. "Режим замороженного

потока" на рис. 2). В этой ситуации $b^*(y, h) = b_0^*(y)$ (введено обозначение $b_0^*(y, h_0) = b_0^*(y)$), а распределение тока в этом режиме можно записать на основании принципа суперпозиции

$$i^*(y, h) = i^*(y, h_0) + \frac{h-h_0}{h} i_m^*(y), \quad (5)$$

где $i_m^*(y)$ — безразмерная мейссеровская составляющая полной плотности тока $i^*(y)$.

Данный режим будет иметь место до тех пор, пока плотность тока в некоторой точке образца не достигнет величины -1 (размерная плотность соответственно $-i_p$). Впервые произойдет это в точке $|y| = \Theta_{20}$, откуда находим величину поля размораживания потока, приравнявая $i^*(\Theta_{20}, h_{df}) = -1$, $i^*(\Theta_{20}, h_0) = 1$, что дает

$$h_{df} = h_0 - 2\pi \sqrt{\frac{1-\Theta_{20}^2}{\Theta_{20}^2}}. \quad (6)$$

По мере дальнейшего снижения поля в окрестности точки Θ_{20} образуется область "размороженных" вихрей ($\Theta_0 < |y| < \Theta_2$), которая начинает расширяться как внутрь пленки, так и к ее границе. В данной области вихри перераспределяются так, что $i^*(y) = -1$ при $\Theta_0 < |y| < \Theta_2$; это соответствует формированию критического состояния "на выход" вихрей. Распределение $i^*(y)$ и $n^*(y)$ описываются тем же уравнением (1), однако с соответствующим образом модифицированными дополнительными условиями

$$b^*(y) = 0, \quad i^*(y) \neq \text{sign}(y), \quad |y| \in [0, \Theta_{10}] \cup [\Theta_2, 1];$$

$$b^*(y) = b_0^*(y), \quad i^*(y) \neq \text{sign}(y), \quad |y| \in [\Theta_{10}, \Theta_0];$$

$$b^*(y) \neq b_0^*(y), \quad i^*(y) = \text{sign}(y), \quad |y| \in [\Theta_0, \Theta_2].$$

Аналогично предыдущему случаю (см. раздел 2.2) находим решение

$$b^*(y) = -R(y^2, \alpha_0, \alpha_2) \left\{ \frac{1}{\pi} \int_{\alpha_{10}}^{\alpha_0} \frac{n_0^*(\tau)}{R(\tau, \alpha_0, \alpha_2)} \frac{d\tau}{\tau - y^2} - \int_{\alpha_0}^{\alpha_2} \frac{1}{R(\tau, \alpha_0, \alpha_2)} \frac{d\tau}{\tau - y^2} \right\}, \quad |y| \in [\Theta_0, \Theta_2] \quad (7a)$$

$$i^*(y) = \pm R(y^2, \alpha_0, \alpha_2) \left\{ \frac{1}{\pi} \int_{\alpha_{10}}^{\alpha_0} \frac{n_0^*(\tau)}{R(\tau, \alpha_0, \alpha_2)} \frac{d\tau}{\tau - y^2} - \int_{\alpha_0}^{\alpha_2} \frac{1}{R(\tau, \alpha_0, \alpha_2)} \frac{d\tau}{\tau - y^2} \right\}, \quad |y| \in [0, \Theta_0] \cup [\Theta_2, 1] \quad (7b)$$

при дополнительном условии

$$h = \frac{1}{\pi} \int_{\alpha_{10}}^{\alpha_0} \frac{n_0^*(\tau)}{R(\tau, \alpha_0, \alpha_2)} d\tau - \int_{\alpha_0}^{\alpha_2} \frac{1}{R(\tau, \alpha_0, \alpha_2)} d\tau. \quad (7c)$$

Здесь $\alpha_0 = \Theta_0^2$, $\alpha_{10} = \Theta_{10}^2$, $\alpha_2 = \Theta_2^2$, в (7b) знак "+" — берется при $|y| \in [0, \Theta_0]$, знак "-" — при $|y| \in [\Theta_2, 1]$. Физический смысл условий (7c) и (3c) полностью идентичен.

Для определения положения границ размороженной области Θ_0 и Θ_2 следует добавить к (7c) условие сохранения полного потока Φ_{tot} , которое с учетом эффекта размораживания потока сводится к интегральному соотношению [13]

$$\int_{\Theta_0}^{\Theta_2} n^*(y) dy = \int_{\Theta_0}^{\Theta_{20}} n_0^*(y) dy. \quad (8)$$

Поведение границ Θ_0 и Θ_2 области критического состояния на выход вихрей изображено на рис. 2 (режим "Сохранение потока"); соответствующее перераспределение плотности потока представлено (кривой 3 на рис. 1).

Режимы замороженного и сохраняющегося потоков будут отчетливо наблюдаться только на образцах с высоким краевым барьером при небольших по сравнению с h_s амплитудах изменения внешнего поля h_0 . Отличительным признаком режима сохраняющегося потока является линейный участок на кривой намагниченности (рис. 3).

В режиме сохраняющегося потока пленка будет находиться, пока внешняя граница Θ_2 области концентрации вихрей не достигнет края пленки или пока не будет (при некотором $\Theta_2 = \Theta_{2\text{max}}$) подавлен барьер на выход вихрей. Соответствующее поле назовем h_{ex} — полем выхода вихрей. При изменении поля в некотором интервале $h^* < h < h_{\text{ex}}$ область концентрации потока будет сохранять свои границы неизменными, в то время как вихри начнут покидать пленку, изменяя наклон профиля размороженного потока (кривая 4 на рис. 1; "Выход вихрей" на рис. 2). Далее, при $h < h^*$, область концентрации потока начнет сокращаться (вследствие уменьшения Θ_2) в результате вытеснения вихрей с периферийной части пленки мейсснеровским током (кривая 5 на рис. 1). Положение внешней границы области, занятой потоком, соответствует максимальному значению Θ_2 , при котором плотность вихрей все еще остается однозначной (положительной) во всей области концентрации потока.

На зависимости $M(H)$ (кривая 1 на рис. 3), соответствующей большой амплитудной величине захватываемого пленкой потока, отчетливо наблюдается платообразный участок, который объясняется преобладающей ролью "размороженных" вихрей, перераспределяющихся в соответствии с законом Фарадея так, чтобы компенсировать изменение магнитного момента образца. По мере выхода вихрей все большую роль начинают играть приграничные мейсснеровские токи, а ход кривой намагниченности становится практически линейным.

В процессе дальнейшего снижения поля наступает момент, когда плотность тока на границе пленки станет равной $-i_s$. В этих условиях начинается вход вихрей

противоположного знака (кривая 6 на рис. 1; "Вход "антивихрей" на рис. 2). Соответствующее поле обозначим как $h_{\text{en}}^{(-)}$ — поле входа "антивихрей". Для определения границ области концентрации потока получаем дополнительное условие, аналогичное (4),

$$h_1 = \sqrt{(1-\alpha_0)(1-\alpha_2)} \left\{ -\frac{1}{\pi} \int_{\alpha_{10}}^{\alpha_0} \frac{n_0(\tau)}{1-\tau} \frac{d\tau}{R(\tau, \alpha_0, \alpha_2)} + \int_{\alpha_0}^{\alpha_2} \frac{1}{1-\tau} \frac{d\tau}{R(\tau, \alpha_0, \alpha_2)} \right\}. \quad (9)$$

Как показывает анализ, при $h \in [-h_0, h_{\text{en}}^{(-)}]$ в пленке сосуществуют вихри разных знаков. При $h = -h_0$ область локализации вихрей окончательно исчезает, а "антивихри" образуют распределение, тождественное распределению вихрей при $h = h_0$.

3. Обсуждение

На основе полученных нами результатов можно построить диаграмму критических состояний на плоскости параметров (рис. 4). Анализ диаграммы позволяет предсказать возможность перехода из мейсснеровского состояния в критическое состояние определенного типа. Действительно, если параметр r велик, то по мере возрастания внешнего поля должен реализоваться переход в критическое состояние, регулируемое краевым пиннингом вихрей; в противоположном случае при $r \ll 1$ в образце устанавливается биновское критическое состояние. Величина параметра r является функцией температуры. Предполагая $i_p = i_{p0}(1-\tau)^q$, а $i_s = i_{s0}(1-\tau)^n$, где $\tau = T/T_c$, нетрудно видеть, что при $q > n$ отношение r падает с ростом температуры T . Таким образом, в материалах с $q > n$ в области низких температур должны наблюдаться особенности, присущие биновскому критическому состоянию, а вблизи T_c влияние краевого барьера становится преобладающим. Подобная закономерность наблюдалась в экспериментах по спинрезонансному исследованию профиля магнитного потока в монокристаллах висмута [14]. Судя по данным авторов

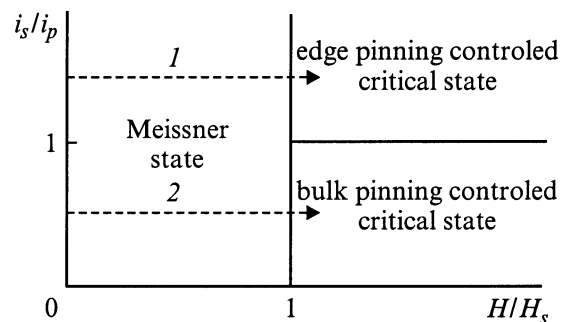


Рис. 4. Диаграмма критических состояний.

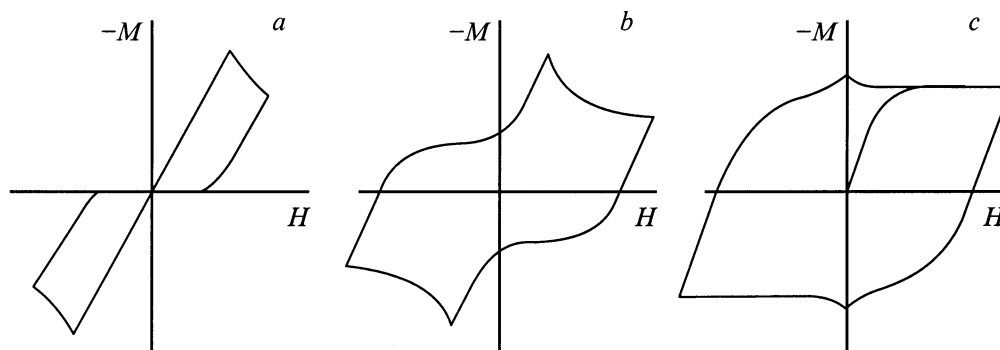


Рис. 5. Эволюция кривой намагниченности с изменением параметра r .

работы [14] именно такая последовательность смены одного вида критического состояния другим (crossover) была прослежена экспериментально.

Наша модель позволяет проследить эволюцию кривой намагниченности $M(H)$ с изменением параметра r (рис. 5). В случае преобладающей роли краевого пиннинга вихрей ($r \gg 1$) зависимость $M(H)$ совпадает с полученной ранее в работах [15,16] (рис. 5, *a*). В противоположном пределе при $r \ll 1$, когда объемный пиннинг является доминирующим фактором, вид кривой намагниченности в основных чертах повторяет профиль, описанный в работе [10]; имеющиеся отличия обусловлены тем, что параметр r имеет конечную величину. В промежуточной области $r \sim 1$, когда интенсивности поверхностного и объемного пиннингов сравнимы по величине, кривая намагниченности имеет весьма нетривиальный вид (напоминающий поверхность изогнутого ковра). Подобные кривые наблюдались экспериментально при исследовании монокристаллов висмута [14] и лент BSCCO [17] соответствующей формы.

Важно отметить, что предложенную модель можно применять для описания макроскопических сверхпроводников с высоким размагничивающим фактором (монокристаллов [14], сверхпроводящих лент [17] и пластин), для которых справедливо неравенство $d \ll W$. Действительно, макроскопическая электродинамика систем этого типа описывается соотношениями (уравнение Ампера — [18]), формально совпадающими с уравнением (1). Применение обсуждаемой методики позволит вычислить локальные (вдоль Y) значения намагниченности, определить величину размагничивающего фактора образца с захваченным потоком, а также описать характер преломления силовых линий в наклонном магнитном поле.

Предложенная здесь аналитическая модель может служить методической основой для расчета магнитных и диссипативных характеристик низкоразмерных сверхпроводников. В частности, модель позволяет рассчитать величину импеданса тонкопленочных мостиков в переменных полях, а также количественно описать эффект генерации высших гармоник намагниченности.

Авторы выражают признательность Э.Х. Брандту и Г.М. Максимовой за ценные обсуждения и помощь в работе, Дж. Клему и Е.Ю. Клименко за интерес к работе и корреспонденцию.

Список литературы

- [1] Р.Г. Минц, А.Л. Рахманов. Неустойчивости в сверхпроводниках. Наука, М. (1984). С. 28.
- [2] J.R. Clem. J. Appl. Phys. **50**, 5, 3518 (1979).
- [3] В.С. Горбачев, С.Е. Савельев. ЖЭТФ **109**, 5, 1387 (1996).
- [4] И.Л. Максимов, Г.М. Максимова. Письма в ЖЭТФ **65**, 5, 405 (1997).
- [5] E. Zeldov, A. Larkin, V. Geshkenbein, M. Konczykowski, D. Maier, B. Khaikovich, V. Vinokur. Phys. Rev. Lett. **73**, 10, 1428 (1994).
- [6] И.Л. Максимов, А.А. Елистратов. Письма в ЖЭТФ **61**, 3, 204 (1995).
- [7] D.T. Fuchs, E. Zeldov, M. Rappaport, T. Tamegai, S. Ooi, H. Shtrikman. Nature **391**, 2, 373 (1998).
- [8] К.К. Лихарев. Изв. вузов. Радиофизика **14**, 6, 919 (1971).
- [9] I.L. Maksimov. Europhys. Lett. **13**, 9, 453 (1995).
- [10] E.H. Brandt, M.V. Indenbom. Phys. Rev. **B48**, 16, 12 893 (1994).
- [11] E. Zeldov, J.R. Clem, M. McElfresh, M. Darwin. Phys. Rev. **B49**, 9, 9802 (1994).
- [12] Н.И. Мухелишвили. Сингулярные интегральные уравнения. Физматгиз, М. (1963).
- [13] I.L. Maksimov, A.A. Elistratov. Appl. Phys. Lett. **72**, 13, 243 (1998).
- [14] R. Khasanov, Yu.I. Talanov, W. Assmus, G.B. Teitelbaum. Phys. Rev. **B54**, 18, 13 339 (1996).
- [15] И.Л. Максимов. Письма в ЖЭТФ **22**, 20, 56 (1996).
- [16] M. Benkraouda, J.R. Clem. Phys. Rev. **B53**, 9, 5716 (1996).
- [17] Ю.Н. Лиханин (частное сообщение).
- [18] E.H. Brandt. Phys. Rev. **B48**, 13, 6699 (1993).